



دانشکده فنی-مهندسی

گروه مهندسی مکانیک

پایان نامه:

برای دریافت درجه کارشناسی ارشد در رشته مهندسی مکانیک

عنوان:

جداسازی منابع مخفی برای چندین سیگنال ارتعاشی در حوزه فرکانسی و تشخیص عیب چرخ دنده

استاد راهنما :

دکتر مهدی کریمی

پژوهشگر:

مجید طارمی

اردیبهشت ماه ۱۳۸۹



دانشکده بولین

دانشکده فنی-مهندسی

گروه مهندسی مکانیک

پایان نامه:

برای دریافت درجه کارشناسی ارشد در رشته مهندسی مکانیک

عنوان:

جداسازی منابع مخفی برای چندین سیگنال ارتعاشی در حوزه فرکانسی و تشخیص عیب چرخ دنده

استاد راهنما :

دکتر مهدی کریمی

پژوهشگر:

مجید طارمی

اردیبهشت ماه ۱۳۸۹

بِسْمِ اللَّهِ الرَّحْمَنِ الرَّحِيمِ

همه امتیازهای این پایان نامه به دانشگاه بوعلی سینا تعلق دارد. در صورت استفاده از تمام یا بخشی از مطالب پایان نامه در مجلات، کنفرانس‌ها و یا سخنرانی‌ها، باید نام دانشگاه بوعلی (یا استاد یا اساتید راهنمای پایان نامه) و نام دانشجو با ذکر مأخذ و ضمن کسب مجوز کتبی از دفتر تحصیلات تكمیلی دانشگاه ثبت شود. در غیر این صورت مورد پیگرد قانونی قرار خواهد گرفت.

## تشکر و قدردانی:

از تلاش‌های مسئولین دانشگاه بوعلی سینا در راستای تأمین امکانات لازم و همکاری‌های بی‌درباره آنان که مسیر پژوهش و تعلیم را هموارتر ساخته است کمال تشکر را به عمل می‌آورم.

از تلاش‌های استاد محترم جناب آقای دکتر مهدی کریمی که همواره با رفتار بزرگوارانه و همت استادانه خویش اینجانب را در زمینه‌های مختلف اعم از تعریف موضوع پایان‌نامه، معرفی منابع، مطالعه گزارش‌های مستمر، راهنمایی‌های متعدد و مداوم در مقاطع زمانی مختلف، تصحیح متون مقالات و پایان‌نامه، یاری نموده‌اند، صمیمانه قدردانی می‌نمایم. همچنین لازم می‌دانم از دوست عزیزم جناب آقای مهندس سازگار به منظور کمک‌های شایان ایشان در رابطه با اکتساب داده‌ها و مراحل مختلف انجام این پژوهش، تشکر نمایم.

حالصانه‌ترین تشکر خود را از پدر بزرگوار و مادر عزیزم دارم، آن دو گوهر گرانقدر که هر چه هستم و نیستم از وجود پاک و مهربان آنهاست.

مجید طارمی

۱۳۸۹/۲/۱۳



دانشگاه بوعلی سینا  
مشخصات رساله/پایان نامه تحصیلی

عنوان:

جداسازی منابع مخفی برای چندین سیگنال ارتعاشی در حوزه فرکانسی و تشخیص عیب چرخ دنده

نام نویسنده: مجید طارمی

نام استاد راهنمای: دکتر مهدی کریمی

دانشکده : فنی مهندسی - دانشگاه بوعلی

رشته تحصیلی: مهندسی مکانیک

تاریخ تصویب: ۱۳۸۷/۴/۶

تعداد صفحات: ۱۶۸

تاریخ دفاع: ۱۳۸۹/۲/۱۳

چکیده:

روش‌های تعمیر و نگهداری سنتی بر مبنای کار دستگاه تا شکست و انهدام بوده و سپس به نگهداری پیشگیرانه تبدیل شده است. امروزه دیگر هیچ از یک دو روش ذکر شده موفق نبوده، بلکه از روش نگهداری پیش‌بینانه جهت تعمیر و نگهداری استفاده می‌شود. در این رابطه ارتعاشات به دلیل پایدار بودن در مقایسه با پارامترهای دیگر همچون درجه حرارت روغن، کاربرد فراوانی یافته است. هدف از انجام این پروژه، استفاده از روشی با نام جداسازی منابع مخفی برای جدا کردن سیگنال‌های ارتعاشی است. جداسازی منابع مخفی یکی از تکنیک‌های جدید حوزه پردازش سیگنال می‌باشد، که شامل بازیابی منابع و سیستم ترکیبی مجهول، تنها از روی سیگنال‌های ترکیبی اندازه‌گیری شده توسط سنسورهاست. این دیدگاه بطور موقت آمیزی در بسیاری از زمینه‌ها مانند ارتباطات، رادار، اصوات درون آب، پزشکی استفاده شده است. اما جداسازی منابع مخفی کمتر برای پایش و عیب یابی سیستم‌های مکانیکی مانند سیگنال‌های اخذ شده از یک ماشین دوار بکار گرفته شده است. این دیدگاه در حوزه جداسازی مخلوط‌های آنی بسیار موفق ظاهر شده است. با وارد شدن در حوزه فرکانس، می‌توان روش جداسازی منابع کور را برای سیگنال‌های کانولو، مربوط به سیگنال‌های گرفته شده از سیستم‌های مکانیکی، نیز بکار برد. برای جداسازی سیگنال‌های کانولو، از آمار مرتبه دوم (ماتریس‌های کوواریانس) به همراه آمار مرتبه بالا (ماتریس‌های کامیولنت مرتبه چهارم) به عنوان تابع کنتراست و از الگوریتم بهینه‌ساز زاکوبی برای دستیابی به ماتریس ترکیب سیگنال‌های سنسور، استفاده شده است. برای شناسایی فرکانس عیب از تابع تبدیل هیلبرت و همچنین سیگنال‌های واقعی گرفته شده از دستگاه نمونه آزمایش برای شناسایی چرخ دنده معیوب کارایی الگوریتم ارائه شده را تایید می‌کند.

واژه‌های کلیدی: جداسازی منابع مخفی، حوزه فرکانسی، کوواریانس، کامیولنت‌های مرتبه چهارم، کورتوسیس، تابع تبدیل هیلبرت، تشخیص چرخ دنده معیوب

## فهرست مطالب

۱	فصل ۱: پیشگفتار
۲	۱-۱- مقدمه
۸	فصل ۲: مقدمه‌ای بر روش‌های تعمیر و نگهداری
۹	۱-۲- مقدمه
۹	۲-۲- معرفی شیوه‌های مختلف نگهداری و تعمیرات
۱۰	۱-۲-۲- نگهداری و تعمیرات عکس العملی
۱۰	۲-۲-۲- نگهداری و تعمیرات دورهای TBM
۱۱	۳-۲-۲- نگهداری و تعمیرات بر اساس وضعیت
۱۲	۴-۲-۲- نگهداری و تعمیرات فعال
۱۲	۳-۳- آشنایی با پایش وضعیت CM
۱۲	۱-۳-۲- اهداف و مزایای CM
۱۴	۲-۳-۲- اجزای تشکیل دهنده CM
۱۵	۳-۳-۲- تکنیک‌های پایش وضعیت
۲۱	۴-۲- خلاصه
۲۲	فصل ۳: مروری بر آنالیز مولفه‌های مستقل و جداسازی منابع کور
۲۳	۱-۳- مقدمه
۲۴	۲-۳- آنالیز مولفه‌های اصلی
۲۶	۳-۳- آنالیز فاکتور
۲۷	۴-۳- شفاف سازی
۲۹	۵-۳- آنالیز مولفه‌های مستقل چیست؟
۳۷	۶-۳- بررسی قواعد BSS
۳۸	۷-۳- سیگنال‌های ترکیب شده
۴۰	۸-۳- تعداد منابع و مخلوط‌ها
۴۰	۹-۳- ترکیب کردن و جدا کردن
۴۰	۱-۹-۳- سیگنال‌ها، متغیرها، و اسکالارها
۴۱	۲-۹-۳- نمایش دادن سیگنال‌ها: بردارها و متغیرهای بردار
۴۲	۳-۹-۳- ترکیب کردن و جدا کردن سیگنال‌ها
۴۵	۱۰-۳- استقلال و توابع چگالی احتمال
۴۵	۱-۱۰-۳- هیستوگرام
۴۶	۳-۱۰-۳- تابع چگالی احتمال
۴۷	۱۱-۳- ممان‌ها (کامپیونت‌ها): میانگین، واریانس، چولگی و کورتوسیس
۴۷	۲-۱۱-۳- ممان اول

۴۸	۳-۱۱-۳- ممان دوم.....
۴۹	۴-۱۱-۳- ممان سوم.....
۴۹	۳-۱۱-۳- ممان چهارم.....
۵۱	۳-۱۲- استقلال و وابستگی.....
۵۲	۳-۱۳- جداسازی منابع کور: پایش سیستمهای مکانیکی.....
۵۴	۳-۱۴- قواعد جداسازی منابع کور - سیستمهای مکانیکی.....
۵۹	۳-۱۵- جداسازی کور منابع ارتعاشی : لیست مشکلات.....
۵۹	۳-۱۵-۱- ابهامات اساسی.....
۶۰	۳-۱۵-۲- ارتباط فیزیکی منابع.....
۶۱	۳-۱۵-۳- تئوری جداسازی کور نیازمند تعداد بسیار محدودی از منابع است.....
۶۱	۳-۱۵-۴- در BSS تعداد دقیق منابع باید از قبل معلوم باشند.....
۶۲	۳-۱۵-۵- قابلیت وارونگی سیستم.....
۶۳	۳-۱۶- فرموله کردن جداسازی منابع کور برای سیستمهای مکانیکی با استفاده از دیدگاه فرکانسی.....
۶۳	۳-۱۶-۱- مفهوم کلی.....
۶۴	۳-۱۶-۲- مدل مخلوط آنی.....
۶۵	۳-۱۶-۳- مدل مخلوط ترکیبی و دیدگاه فرکانسی.....
۶۷	۳-۱- دور نمایی از جداسازی منابع مخفی در تشخیص عیب.....
۶۸	۳-۲- خلاصه و نتیجه گیری.....
۶۹	۳-۳- فصل ۴: دکورلیشن مخفی توسط آمار مرتبه دوم و بالاتر.....
۷۰	۳-۴- مقدمه.....
۷۱	۳-۴-۱- دیدگاه بج.....
۷۴	۳-۴-۲- طراحی الگوریتم برای عیب یابی منابع ارتعاشی.....
۷۵	۳-۴-۳-۱- انتخاب کامیولنت مرتبه چهارم بعنوان تابع کنتراست.....
۷۷	۳-۴-۲-۳-۴- آمار مرتبه بالا و روش تکرار ژاکوبی: تشریح الگوریتم.....
۷۷	۳-۴-۳-۳-۴- علائم و فرضها.....
۷۹	۳-۴-۴-۳-۴- استفاده از آمار مرتبه دوم (second-order statistics).....
۷۹	۳-۴-۵- تعیین ماتریس یکتای U.....
۸۰	۳-۴-۶- دیدگاههای مبتنی بر تجزیه مقادیر ویژه.....
۸۰	۳-۴-۷- دیدگاههای مبتنی بر بهینه سازی ضوابط کامیولنت.....
۸۱	۳-۴-۸- قطربنی سازی پیوسته (joint diagonalization).....
۸۳	۳-۴-۹- تست عملکرد الگوریتم با سیگنالهای شبیه سازی شده.....
۸۶	۴-۴-۴- لزوم استفاده از الگوریتم پوش.....
۸۶	۴-۴-۱- آنالیز ارتعاشات چرخدنده.....
۸۸	۴-۴-۲- تبدیل هیلبرت.....

۸۹	- بررسی روش پیشنهاد شده.....	۴-۳-۴-۳
۹۳	- مروری بر پژوهش‌های انجام شده برای عیب‌یابی چرخ‌دنده.....	۴-۴-۵-۵
۹۹	- خلاصه.....	۴-۶-۶
۱۰۰	فصل ۵: اکتساب داده.....	
۱۰۱	۱-۱- مقدمه.....	
۱۰۲	۲-۲- تجهیزات آزمایش.....	۵-۲-۲
۱۰۳	۳-۳- ترانسیدیوسر.....	
۱۰۷	۲-۳-۳- سخت افزار سیستم اکتساب داده‌ها.....	۵
۱۰۷	۳-۳-۳- A/D های همزمان.....	۵-۳-۳-۳
۱۰۸	۴-۳-۴- ۵- کوپلینگ AC.....	
۱۰۹	۵-۳-۳-۵- نرم افزار اکتساب داده‌ها.....	
۱۱۰	۶-۳-۳-۵- مشخصات چرخ‌دنده.....	
۱۱۴	۴-۵- سیگنال‌های ترکیبی بدست آمده از شتاب سنج‌ها.....	
۱۱۸	۵-۵- خلاصه.....	
۱۱۹	فصل ۶: نتایج.....	
۱۲۰	۶-۱- شبیه سازی عددی.....	
۱۲۳	۶-۲- تست الگوریتم با سیگنال‌های واقعی.....	
۱۲۳	۶-۲-۱- روند اجرا.....	
۱۲۵	۶-۲-۲- نتایج جداسازی برای روز اول.....	
۱۲۶	۶-۲-۳- نتایج جداسازی برای روز ششم.....	
۱۲۸	۶-۲-۴- نتایج جداسازی برای روزدهم.....	
۱۳۰	۶-۲-۵- نتایج جداسازی برای روزدوازدهم.....	
۱۳۲	۶-۳- استفاده از کورتوسیس برای عیب‌یابی.....	
۱۳۳	۶-۴- جداسازی سیگنال‌های چرخ‌دنده در حوزه زمان.....	
۱۳۵	۶-۵- استفاده از روش حوزه فرکانس برای عیب‌یابی یاتاقان.....	
۱۳۵	۶-۶-۱- بلبرینگ.....	
۱۳۶	۶-۶- فرکانس عیب.....	
۱۳۹	۶-۷- خلاصه.....	
۱۴۱	۷- جمع بندی و پیشنهادات.....	
۱۴۲	۷-۱- جمع بندی.....	
۱۴۴	۷-۲- نوآوری.....	
۱۴۵	۷-۳- پیشنهادات جهت تحقیقات آینده.....	
۱۴۷	۷- پیوست‌ها.....	
۱۶۲	۷- منابع و مأخذ.....	

## فهرست جداول

جدول (۱-۲) تجهیزات و کاربرد تکنیک‌های مختلف CM.....	۱۶
جدول (۱-۵) عیب‌های ایجاد شده در چرخ دنده کوچک.....	۱۱۳
جدول (۱-۶) تغییرات کورتوسیس با گسترش عیب.....	۱۳۳

## فهرست اشکال

شکل (۱-۱) نمایش بلوك دیاگرام مسائل مرتبط با جداسازی منبع مخفی [۲]	۳
شکل (۲-۱) شمایی از الگوریتم BSS	۶
شکل (۳-۱) استفاده از ICA برای بازیابی منابع [۱۵]	۲۳
شکل (۳-۲) اختلاف در دامنه منابعی که توسط دو میکروفون ثبت شده‌اند [۱۵]	۳۰
شکل (۳-۳) جداسازی سخن توسط آنالیز مولفه‌های مستقل [۱۵]	۳۱
شکل (۳-۴) پردازش تصویر توسط آنالیز مولفه‌های مستقل [۱۵]	۳۱
شکل (۳-۵) سیگنالهای منبع (سمت چپ) و ترکیب آنها (سمت راست) [۱۵]	۳۸
شکل (۳-۶) نرم‌افزارهای منبع گفتاری در بالا و هیستوگرام آن در قسمت پایین، وسط: سیگنال منبع دندانه‌ای (بالا) و هیستوگرام (پایین)، راست: سیگنال ترکیب (بالا) و هیستوگرام (پایین) [۱۵]	۳۹
شکل (۳-۷) پیچیدگی سیگنال ترکیبی از منابع بیشتر می‌باشد. دو سیگنال اول مربوط به سیگنال منابع و سیگنال پایین سیگنال ترکیبی آنهاست. [۱۵]	۴۰
شکل (۳-۸) بالا: دو سیگنال گفتاری متفاوت، نمونه برداری شده در هر میلی ثانیه برای ۲۰۰ میلی ثانیه، پایین: بزرگنمایی از سیگنال های گفتاری، که مقادیر دامنه را در ۱۰ میلی ثانیه نشان می‌دهد. [۱۵]	۴۱
شکل (۹-۳) سیگنال ترکیبی ثبت شده توسط سنسور [۱۵]	۴۳
شکل (۱۰-۳) فرایند ترکیب و جداسازی سیگنال‌ها توسط BSS [۱۵]	۴۴
شکل (۱۱-۳) در هیستوگرام امین باند با مرز $[x_i, x_i + \Delta x]$ برآورده از تعداد $m_i$ از مقادیر اندازه گیری شده که بین بازه $x_i$ و $x_i + \Delta x$ قرار دارد، می‌باشد. [۱۵]	۴۶
شکل (۱۲-۳) یک مثال کلی که مورد توجه تئوری جداسازی منابع می‌باشد. [۶۰]	۵۴
شکل (۱۳-۳) سیستم تعلیق: جابجایی $X$ و چرخش $\theta$ اندازه‌های گرفته شده توسط سنسورها و $F_1$ و $F_2$ دو منبع مجھول هستند که از فرض استقلال بصورت کور قابل بازیابی می‌باشند. [۶۰]	۵۵
شکل (۱۴-۳) یک مثال کلی از منابعی که به صورت کور بازیابی شده‌اند. BSS اطلاعاتی در مورد ماهیت نیرو‌ها، محل اعمال نیرو و شدت آنها نمی‌دهد. [۶۰]	۶۰
شکل (۱۵-۳) تعداد منابع در تماس روی سیستم‌های مکانیکی بیشتر از حد انتظار است. در اینجا باید به جای دو منبع (الف)، چهار منبع مستقل (ب) در نظر گرفته شود. [۶۰]	۶۱
شکل (۱۶-۳) تعداد منابع بسیار زیاد است و به سختی از قبیل قابل تعیین است. [۶۰]	۶۲
شکل (۱۷-۳) سیستم به خاطر نزدیک بودن منابع شرایط معکوس پذیری ندارد. [۶۰]	۶۳
شکل (۱۸-۳) سیستم برای بیشتر از سه منبع آماری معکوس پذیر نیست. [۶۰]	۶۳
شکل (۱۹-۳) فلوچارت جداسازی منابع مخفی ارتعاشی بوسیله دیدگاه فرکانسی	۶۶
شکل (۲-۱) مدل پایه برای شفاف سازی سیگنال‌های سنسور [۹]	۷۱
شکل (۲-۴) تاثیر شفاف سازی بر سیگنال‌های مشاهده شده [۹]	۷۲
شکل (۳-۴) سه تبدیل اساسی از سیگنال‌های سنسور توسط شفاف سازی، PCA و ICA	۷۳
شکل (۴-۴) سیگنال‌های منابع اصلی در حوزه زمان و فرکانس.	۸۴
شکل (۴-۵) منبع دوم: نویز گاویسین	۸۴
شکل (۴-۶) منبع سوم: متغیر تصادفی با توزیع یکسان	۸۵
شکل (۴-۷) نتایج جداسازی توسط الگوریتم: سطر اول-منابع، سطر دوم-سیگنال‌های سنسور، سطر سوم-تخمین منابع	۸۵
شکل (۴-۸) نمودار حوزه زمانی سیگنال شبیه سازی شده	۹۰
شکل (۴-۹) نمودار حوزه فرکانسی سیگنال شبیه سازی شده	۹۱
شکل (۴-۱۰) تبدیل هیلبرت از نمودار حوزه زمان	۹۲

..... ۹۲	شکل (۱۱-۴) تبدیل هیلبرت از نمودار حوزه فرکانس.
..... ۹۴	شکل (۱۲-۴) دیاگرام انتقالی جعبه دندۀ [۸۹]
..... ۹۴	شکل (۱۳-۴) سیگنالهای اصلی جعبه دندۀ [۸۹]
..... ۹۵	شکل (۱۴-۴) طیف انرژی سیگنال های ارتعاشی [۸۹]
..... ۹۵	شکل (۱۵-۴) طیف چگالی انرژی از پوش سیگنال [۸۹]
..... ۹۶	شکل (۱۶-۴) سیگنال بازسازی شده از نتایج تبدیل موجک [۸۹]
..... ۹۷	شکل (۱۷-۴) کورتوسیس طیفی اندازه‌گیری شده روی جعبه دندۀ که در معرض آزمایش عیب پیش رونده قرار داده شده است. مقادیر بالا و غیر عادی کورتوسیس در روزهای ۲، ۶، ۸ و ۰ [۹۰] بدست آمده‌اند.
..... ۹۹	شکل (۱۸-۴) الف- سیگنال اخذ شده از سیستمی با عیب در حلقه داخلی یاتاقان، مقدار کورتوسیس در این حالت بالاست. ب- سیگنال اخذ شده از سیستمی با عیب در ساقمه یاتاقان که با نویز آگشته شده است، کورتوسیس در این حالت نزدیک به صفر است. [۹۰]
..... ۱۰۲	شکل (۱-۵) تجهیزات مورد نیاز برای اکتساب داده.
..... ۱۰۳	شکل (۲-۵) دستگاه آزمایش، شامل منابع متعدد ارتعاشی.
..... ۱۰۶	شکل (۳-۵) بخش‌های مختلف یک شتاب سنج.
..... ۱۰۶	شکل (۴-۵) شماتیک دستگاه آزمایش، شتاب سنجها روی بلبرینگ‌های سالم ۱ و ۳ نصب شده‌اند.
..... ۱۱۰	شکل (۵-۵) جعبه ابزار اکتساب داده‌ها سیگنال‌های ارتعاشی را جمع آوری نموده و نرم افزار متلب به نمایش و تحلیل داده می‌پردازد.
..... ۱۱۱	شکل (۶-۵) ایجاد حفره‌های ریز در پای دندانه (PITTING).
..... ۱۱۱	شکل (۷-۵) ایجاد تراشه در دندانه چرخ دندۀ (CHIPPING).
..... ۱۱۱	شکل (۸-۵) شکست در دندانه چرخ دندۀ (TOOTH BREAKAGE).
..... ۱۱۳	شکل (۹-۵) نمونه‌ای از عیب ایجاد شده در چرخ دندۀ تحت آزمایش با شکستگی تقریباً کامل یکی از دندانه‌ها.
..... ۱۱۳	شکل (۱۰-۵) پیشرفت عیب در چرخ دندۀ کوچک (افزایش طول شکستگی در دندانه).
..... ۱۱۴	شکل (۱۱-۵) سیگنال ثبت شده از سنسور شماره ۱ و ۲ در حالت جعبه دندۀ عادی- روز اول.
..... ۱۱۴	شکل (۱۲-۵) سیگنال ثبت شده از سنسور شماره ۱ و ۲ در حالت جعبه دندۀ عادی- روز دوم.
..... ۱۱۴	شکل (۱۳-۵) سیگنال ثبت شده از سنسور شماره ۱ و ۲ در حالت جعبه دندۀ عادی- روز سوم.
..... ۱۱۵	شکل (۱۴-۵) سیگنال ثبت شده از سنسور شماره ۱ و ۲ در حالت جعبه دندۀ عادی- روز چهارم.
..... ۱۱۵	شکل (۱۵-۵) سیگنال ثبت شده از سنسور شماره ۱ و ۲ در حالت جعبه دندۀ عادی- روز پنجم.
..... ۱۱۵	شکل (۱۶-۵) سیگنال ثبت شده از سنسور شماره ۱ و ۲ در حالت جعبه دندۀ معیوب- طول شکستگی -۱/۲ روز ششم.
..... ۱۱۶	شکل (۱۷-۵) سیگنال ثبت شده از سنسور شماره ۱ و ۲ در حالت جعبه دندۀ معیوب- طول شکستگی -۱/۲ روز هفتم.
..... ۱۱۶	شکل (۱۸-۵) سیگنال ثبت شده از سنسور شماره ۱ و ۲ در حالت جعبه دندۀ معیوب- طول شکستگی -۱/۲ روز هشتم.
..... ۱۱۶	شکل (۱۹-۵) سیگنال ثبت شده از سنسور شماره ۱ و ۲ در حالت جعبه دندۀ معیوب- طول شکستگی -۳/۴ روز نهم.
..... ۱۱۷	شکل (۲۰-۵) سیگنال ثبت شده از سنسور شماره ۱ و ۲ در حالت جعبه دندۀ معیوب- طول شکستگی -۳/۴ روز دهم.
..... ۱۱۷	شکل (۲۱-۵) سیگنال ثبت شده از سنسورها در حالت جعبه دندۀ معیوب- طول شکستگی ۱۵/۱۶ روز یازدهم.

شکل (۲۲-۵) سیگنال ثبت شده از سنسورها در حالت جعبه دنده معیوب- طول شکستگی ۱۵/۱۶- روز

..... ۱۱۷	دوازدهم
..... ۱۲۱	شکل (۱-۶) سیگنال های شبیه سازی شده یاتاقان(چپ) و چرخ دنده(راست)
..... ۱۲۱	شکل (۲-۶) سیگنال های شبیه سازی شده خروجی از سنسور
..... ۱۲۲	شکل (۳-۶) سیگنال بازیابی شده برای یاتاقان در حوزه زمان(چپ) و حوزه فرکانس(راست)
..... ۱۲۲	شکل (۴-۶) سیگنال بازیابی شده برای چرخ دنده در حوزه زمان(چپ) و حوزه فرکانس(راست)
..... ۱۲۴	شکل (۵-۶) فلوچارت جداسازی منابع مخفی ارتعاشی توسط دیدگاه فرکانسی
..... ۱۲۵	شکل (۶-۶) بازیابی سیگنال های چرخ دنده برای روز اول
..... ۱۲۶	شکل (۷-۶) بازیابی سیگنال های چرخ دنده برای روز ششم
..... ۱۲۷	شکل (۸-۶) تبدل هیلبرت از سیگنال های بازیابی شده چرخ دنده - روز ششم
..... ۱۲۸	شکل (۹-۶) بازیابی سیگنال های چرخ دنده برای روز دهم
..... ۱۲۹	شکل (۱۰-۶) تبدل هیلبرت از سیگنال های بازیابی شده چرخ دنده - روز دهم
..... ۱۳۰	شکل (۱۱-۶) بازیابی سیگنال های چرخ دنده برای روز دوازدهم
..... ۱۳۱	شکل (۱۲-۶) تبدل هیلبرت از سیگنال های بازیابی شده چرخ دنده - روز دوازدهم
..... ۱۳۲	شکل (۱۳-۶) تبدل هیلبرت از سیگنال های بازیابی شده چرخ دنده - روز دوازدهم
..... ۱۳۳	شکل (۱۴-۶) نمودار تغییرات کورتوسیس با گسترش عیب در دندانه چرخدنده
..... ۱۳۴	شکل (۱۵-۶) تبدل هیلبرت از سیگنال های بازیابی شده چرخدنده در حوزه زمان - روز دهم
..... ۱۳۴	شکل (۱۶-۶) تبدل هیلبرت از سیگنال های بازیابی شده چرخدنده در حوزه زمان - روز دوازدهم
..... ۱۳۵	شکل (۱۷-۶) تبدل هیلبرت از سیگنال های بزرگنمایی شده چرخ دنده در حوزه زمان - روز دوازدهم
..... ۱۳۵	شکل (۱۸-۶) بخش های مختلف یک بلبرینگ
..... ۱۳۷	شکل (۱۹-۶) سیگنال های ارتعاشی ترکیبی اتخاذ شده از دو عدد سنسور شتاب سنج
..... ۱۳۷	شکل (۲۰-۶) سیگنال منبع تخمینی ۱، حاصل جداسازی سیگنال ترکیبی توسط الگوریتم حوزه فرکانس
..... ۱۳۸	شکل (۲۱-۶) سیگنال منبع تخمینی ۲، حاصل جداسازی سیگنال ترکیبی توسط الگوریتم حوزه فرکانس
..... ۱۳۹	شکل (۲۲-۶) آشکارسازی سیگنال عیب با الگوریتم پوش و FFT

## فهرست اختصارات

BSS	Blind Source Separation
cdf	cumulative density function
EVD	Eigen Value Decomposition
FA	Factor Analysis
FastICA	Fast ICA algorithm
HOS	Higher Order Statistics
ICA	Independent Component Analysis
i. i. d	independent identical distribution
Infomax	Information maximization algorithm
JAD	Joint Approximate Diagonalization of matrices
JADE	Joint Approximate Diagonalization of Eigen matrices
LMS	Least Mean Squares
LTD	Lower Triangular Decomposition
MBD	Multichannel Blind Deconvolution
PCA	Principal Component Analysis
pdf	probability density function
rpm	rotation per minute
SBD	Single-channel Blind Deconvolution
SNR	Signal to Noise Ratio
SOBI	Second Order Blind Identification algorithm
SOS	Second Order Statistics
PP	Projection pursuit
var	Variance of a variable
CLT	Central Limit Theorem

# **فصل ۱: پیشگفتار**

## ۱-۱- مقدمه

امروزه هم زمان با گسترش و پیشرفت صنایع، مقوله نگهداری و تعمیرات به تدریج برای صنعت یکی از مسائل مهم شده است. نگهداری و تعمیر، معمولاً یکی از سنگین ترین هزینه‌ها در واحد‌های صنعتی شناخته می‌شود. با انتخاب شیوه مناسب نگهداری و تعمیر، ممکن است این هزینه‌ها تا حد زیادی کاهش یابد. در سال‌های اخیر در کشورهای پیشرفته صنعتی، روش‌های نوینی در خصوص نگهداری و تعمیر ماشین آلات ایجاد شده است. با وجود این، روش‌های جدید نگهداری و تعمیر در صنایع داخلی چندان نهادینه نشده است. بمنظور وارد شدن به عرصه رقابت تنگاتنگ اقتصادی و افزایش بهره‌وری و کیفیت محصولات، روی آوردن به شیوه‌های جدید نگهداری و تعمیرات ضروری است. آنالیز ارتعاشات به عنوان ابزار اصلی شناسایی عیوب و پایش ماشین آلات، محور اصلی بحث این پژوهش خواهد بود.

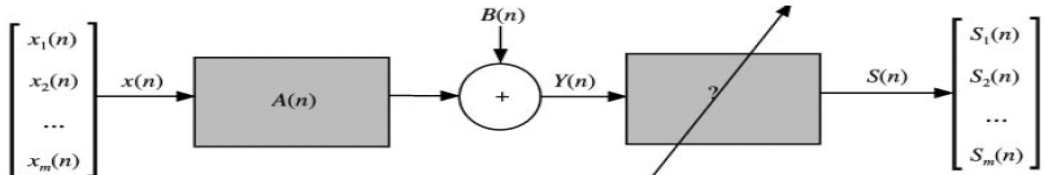
جداسازی منابع مخفی<sup>۱</sup> (BSS) موضوع تحقیقاتی حال حاضر پردازش سیگنال می‌باشد که هر دوی سیگنال منابع و مشخصه‌های سیستم ترکیب کننده سیگنال‌ها را تنها از روی سیگنال‌های ترکیبی خروجی این سیستم بازیابی می‌کند. BSS حوزه تحقیقاتی بسیار جذاب و قابل توجهی برای محققین فراهم کرده است. چرا که مجموعه‌ای از مفاهیم در حوزه‌های دیگر علوم نظری، پردازش سیگنال، شبکه‌های عصبی، تئوری داده‌ها، آمار و احتمال و غیره را جهت حل مسائل موجود در رابطه با این زمینه علمی پیرامون یکدیگر گردآوری نموده است. BSS کاربردهای وسیعی در شاخه‌های مختلف علوم نظری، پردازش سیگنال‌های پزشکی، پردازش تصاویر، سیگنال‌های ارتباطاتی، مخابرات و

---

<sup>۱</sup> Blind Source Separation

همچنین کاوش‌های زمین شناسی یافته است و این در حالی است که کمتر در زمینه مسائل مهندسی مکانیک مورد توجه واقع شده است. کار بر روی BSS اولین بار توسط مقاله جاتن و هرالت [۲] پایه گذاری شده است. پس از انتشار مقاله آنالیز مؤلفه‌های مستقل [۳] در کنفرانس پردازش سیگنال، توسط کامون و همچنین معرفی الگوریتم Infomax توسط بل و سجنووسکی [۴] به جرأت می‌توان گفت حوزه مسائل و کاربردهای BSS به یکی از جذاب‌ترین حوزه‌ها برای محققین مبدل گشت. کاردوسو و سولومانک [۵] اقدام به معرفی الگوریتمی جهت جداسازی سیگنال‌های غیر گاوی در سال ۱۹۹۳ نمودند که هم اکنون الگوریتم مشهور آنها با نام اختصاری<sup>۱</sup> JADE شناخته می‌شود. از آنجاییکه هزاران کتاب و مقاله نظریه‌ایکین [۶ و ۷]، کارهان و اوجا [۸]، چیکوکی و آماری [۹] و راو [۱۰] تاکنون در زمینه مسائل BSS منتشر شده است، مقالات و گزارش‌های محدودی نیز در زمینه کاربرد BSS در حوزه‌های کاری مهندسی مکانیک انتشار یافته است. نظری مقالات منتشر شده توسط ژله [۱۱]، جی‌بی و سرویر [۱۲، ۱۳، ۱۴].

مسئله BSS را به طور شماتیک می‌توان در شکل (۱-۱) نمایش داد، که در آن  $(n)_i$  منبع ناشناخته در حوزه زمان،  $(n)_y$  سیگنال ترکیبی اندازه‌گیری شده توسط سنسورها،  $A(n)$  سیستم ترکیب کننده یا تبدیل متناظر با حالتی است که سیستم دارای حافظه (کانولوآ) و یا بدون حافظه (آنی<sup>۲</sup>) باشد.



شکل (۱-۱) نمایش بلوک دیاگرام مسائل مرتبط با جداسازی منبع مخفی [۲]

ترکیب سیگنال‌ها در سیستم ترکیب کننده به دو روش شناخته شده متفاوت، امکان پذیر است که به مدل ریاضی این دو راه ترکیب مربوط می‌گردد: مدل ترکیبی آنی و مدل ترکیبی کانولوشن. روش‌های جداسازی برای مدل اول، غالباً تحلیل مؤلفه مستقل<sup>۳</sup> (ICA) نامیده می‌شوند، و بر این واقعیت تأکید دارند که راه حل‌های موجود برای این مسئله، تحت این فرض انجام می‌پذیرد که منابع مستقل از یکدیگر هستند. از طرف دیگر، روش‌ها و تکنیک‌های جداسازی برای روش دوم عمدتاً به نام

<sup>۱</sup> Joint Approximate Diagonalization of Eigen-matrices

<sup>۲</sup> Convolve

<sup>۳</sup> Instantaneous

<sup>۴</sup> Independent Component Analysis

<sup>۱</sup> MBD شناخته شده هستند. چراکه در حقیقت کار اصلی این الگوریتم ها دکانولو<sup>۲</sup> کردن سیگنالهایی است که توسط روند ترکیبی کانولوشن با یکدیگر آمیخته شده‌اند. دو مدل ترکیبی مذکور در ارتباطی نزدیک با یکدیگر قرار دارند، از این حیث که هر دوی آنها دارای راه حل هایی تحت فرض منابع مستقل از یکدیگر بوده و تا حدی عمل جداسازی به روش کور یا مخفی در مورد آنها امکان پذیر می‌باشد، هستند و همچنین این دو مدل را در ارتباط نزدیک با یکدیگر می‌نامیم چرا که مدل ترکیبی دوم تحت شرایطی که در حوزه فرکانس بیان شود و یا طول فیلتر پاسخ ضربه به یک عدد کاهش یابد (در حوزه زمان)، به مدل ترکیبی آنی یا بدون حافظه تبدیل خواهد شد و در نهایت، چنانچه تعداد منابع ورودی به سیستم و همچنین تعداد سیگنال های ترکیبی خروجی از سیستم به یک عدد کاهش یابد، مدل ترکیبی دوم یعنی MBD به حالت خاصی که<sup>۳</sup> SBD نامیده می‌شود، تبدیل خواهد گشت. در این پژوهش برای تبدیل مدل کانولوشن به مدل آنی از حوزه فرکانس و تبدیل سیگنال به بازهای کوچک در هر باند فرکانسی استفاده شده است. با این کار می‌توان از فرضیه آنی بودن سیگنال های دریافتی استفاده نمود. در این پایان‌نامه، از لغت اختصاری BSS به عنوان نام عمومی هر دو مدل استفاده می‌شود. اگرچه نام های متعدد دیگری نیز در کتاب ها و مقالات دیگر برای این نام‌گذاری استفاده می‌شود. دو مدل ترکیبی مذکور در فوق را می‌توان با عبارات ریاضی (۱-۱) و (۱-۲) تفسیر نمود. که در آنها نوبز های اندازه‌گیری شده  $B(n)$  نیز در نظر گرفته شده‌اند.

### مدل ترکیبی آنی:

(۱-۱)

$$Y(n) = AX(n) + B(n) \quad n = 1, 2, \dots, T$$

$$\mathbf{A} = \left[ a_{ij} \right]_{N \times M} \quad \text{سیستم ترکیبی آنی}$$

$$X(n) = \{x_j(n)\} \quad j = 1, 2, \dots, M \quad \text{منابع ورودی به سیستم}$$

$$Y(n) = \{y_i(n)\} \quad i = 1, 2, \dots, N \quad \text{سیگنالهای ترکیبی خروجی از سیستم}$$

نوبزهای اضافه شده که معمولاً گاوسین در نظر گرفته می‌شوند.

$$B(n) = \{b_i(n)\}$$

<sup>1</sup> Multi Channel Deconvolution

<sup>2</sup> Deconvolve

<sup>3</sup> Single Channel Blind Deconvolution

## مدل ترکیبی MBD

(۲-۱)

$$Y_i(n) = \sum_{j=1}^m \sum_{p=0}^{P-1} a_{ij}(p)x_j(n-p) + B(n), \dots, i = 1, 2, \dots, n \quad n = 1, 2, \dots, T$$

(p)  $a_{ij}$  بیانگر ضرایب فیلتر ترکیب و p امین مولفه از پاسخ ضربه نقطه‌ای از آمین منبع به زمین سنسور است. نویز  $B(n)$  از نوع گاویسین و سیگنال‌های منابع از نوع غیرگاویسی هستند.

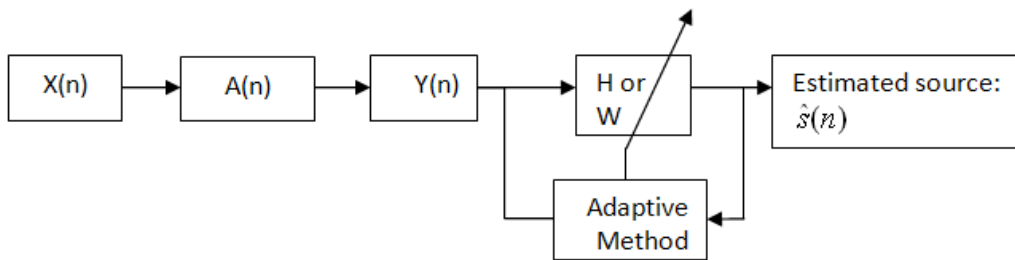
در حالت کلی راه حل قطعی جهت بازیابی سیگنال‌های ورودی منابع مجھول و همچنین سیستم ترکیب کننده یا مبدل ناشناخته، تنها از روی سیگنال‌های اندازه‌گیری شده دریافتی توسط سنسورها، وجود ندارد. با این وجود، امری که این قضیه را تا حدی امکان پذیر می‌سازد، پذیرفتن شرایطی است که در آن بازیابی منابع همراه با ضرایب مقیاس<sup>۱</sup> نامعلوم صورت می‌پذیرد و همچنین جایگشت منابع در روند بازیابی در مقایسه با منابع ورودی اصلی، انجام می‌پذیرد و نیز اعمال فرضیاتی بر سیگنال منابع ورودی، نظیر اینکه، آنها می‌باشد مستقل از یکدیگر و غیرگاویسی باشند. این مسئله در رابطه (۳-۳) به صورت ریاضی مدل سازی شده که در آن  $P$  ماتریس جایگشت و  $\Lambda$  ماتریس قطری ضریب مقیاس می‌باشد. از آنجائیکه تنها شکل موج منابع مد نظر هستند، ابهامات ضریب مقیاس مجھول و جایگشت سیگنال منابع در روند بازیابی، امری ناچیز و پیش پا افتاده در اکثر کاربردهای عملی می‌باشد. آنچه که در روند بازیابی دارای اهمیت می‌باشد این است که اثرات فیلترینگ تا حد امکان کم باشد به گونه‌ای که تأثیر منفی در استفاده کاربردی از سیگنال منابع در زمینه‌های مختلف نداشته باشد.

$$Y(n) = AX(n) = (A\Lambda^{-1}P^{-1})(P\Lambda)X(n) \quad (3-1)$$

روابط (۱-۱) یا (۲-۱) را نمی‌توان به صورت قطعی در حالیکه تنها  $y$  برای ما معلوم است، حل نمود. بنابراین پس از این، روش BSS را می‌باشد به یک الگوریتم تعلیمی<sup>۲</sup> توسعه داد که شامل یک تابع هزینه یا هدف و همچنین روش تعلیمی برای بیشینه یا کمینه کردن این تابع هدف باشد که توسط این روند بهینه سازی، همگرایی به سیستم ترکیبی  $H$  یا سیستم معکوس متناظر با آن  $W$ ، امکان پذیر گردد. روند تشریح شده فوق را به صورت شماتیک می‌توان در شکل (۲-۱) مشاهده نمود.  $W$  حاصل شده، سیستم معکوس معادل نامیده شده است، چرا که در رابطه با آن ابهاماتی وجود

<sup>1</sup> Scale Factor<sup>2</sup> Learning Algorithm

دارد، اما با این حال در اینجا جهت سهولت، به آن سیستم معکوس اطلاق می‌گردد. همچنین، به دلیل آنکه  $\mathbf{W}$  سیگنال ترکیبی اندازه‌گیری شده،  $\mathbf{Y}$  را به سیگنال‌های منابع تشکیل دهنده آن، تجزیه می‌کند، به آن سیستم تجزیه کننده یا مجزا کننده گفته می‌شود. از بحث فوق این نتیجه به وضوح مشخص می‌گردد که سیگنال منابع بازیابی شده، خروجی سیستم معکوس خواهد بود. از رابطه (۱-۳) نتایج استحصلال شده BSS را می‌توان به صورت رابطه (۱-۴) جهت سیستم معکوس بدست آمده و رابطه (۱-۵) جهت منابع بازیابی شده، بیان نمود.



شکل (۲-۱) شماتی از الگوریتم BSS

$$\mathbf{W} = (\mathbf{P}\Lambda)\mathbf{A}^{-1} \quad (4-1)$$

$$\hat{s}(n) = \mathbf{WY}(n) = (\mathbf{P}\Lambda)\mathbf{X}(n) \quad (5-1)$$

فرض مستقل بودن منابع، پایه و اساس تئوری BSS می‌باشد. بر این اساس، الگوریتم‌های متعددی با استفاده از توابع هزینه متفاوت، جهت جداسازی منابع مستقل از یکدیگر توسعه داده شده اند. در اغلب موارد، شرط استقلال با دکورلیشن<sup>۱</sup> مرتبه دوم یا بالاتر سیگنال ترکیبی اندازه‌گیری شده، برآورده می‌گردد. توابع هدف دیگری وجود دارند که بر اساس تئوری حد مرکزی (CLT) در احتمالات و آمار توسعه یافته‌اند که با دکورلیشن مرتبه بالاتر مطابقت دارد. مسائل مکانیکی که مدل BSS در آن زمینه پتانسیل و قابلیت کاربرد دارد، جائیست که در آن معمولاً نیروی اعمال شده یا جابجایی، مورد نظر بوده، در حالی که در این مسائل نیرو و جابجایی مجھول هستند و امکان اندازه‌گیری آنها وجود ندارد و یا کار بسیار مشکلی است. پدیده ضربه پیستون در موتور احتراق داخلی، یا شکل موج نیروی وارد شده به یک سازه مکانیکی نظیر یک جعبه دنده مثالی از این موارد است. این پژوهه تحقیقاتی

<sup>۱</sup> Decorrelation